

УДК 621.396.677

**МАТЕМАТИЧЕСКОЕ МОДЕЛИРОВАНИЕ
ВЛИЯНИЯ ПВМС НА РЕЗУЛЬТАТЫ
ОБРАБОТКИ ИЗОБРАЖЕНИЙ
В КОГЕРЕНТНО-ОПТИЧЕСКОМ ПРОЦЕССОРЕ**

*C. С. Баранов, A. M. Мартынов, C. Г. Рабинович, A. Л. Тамарин,
B. П. Чураков, A. С. Шпилегой*

Изложена методика и результаты моделирования когерентно-оптического процессора (КОП), включающего пространственно-временной модулятор света (ПВМС) типа «Титус». Приведены основные соотношения, описывающие процесс прохождения информации в тракте КОП. Представлены зависимости степени искажения изображений и погрешностей измерения информативных признаков пространственных спектров, получаемых на выходе КОП, от конструктивных параметров применяемых ПВМС.

Исследования проведены при работе с реальными изображениями в системе, содержащей стандартную телевизионную передающую камеру, аналого-цифровой и цифро-аналоговый преобразователи, буферное запоминающее устройство на телевизионный кадр, мини-ЭВМ «СМ-4».

В различных областях науки и техники возникают задачи оперативной обработки изображений в масштабе времени, близком к реальному. Перспективным является развитие гибридных способов обработки, совмещающих оптические методы для проведения двумерных преобразований с последующим использованием средств вычислительной техники для расчета параметров обработанных изображений. В случаях, когда исходное изображение представляется в виде фотографии (негатива) либо получается на выходе передающей телевизионной камеры, реализация преимуществ оптической обработки возможна при наложении исходного изображения на когерентную световую несущую, что требует применения в качестве устройства ввода пространственно-временных модуляторов света (ПВМС).

В ряде работ [1—3] показана возможность решения задач обработки изображений с использованием ПВМС типа «Титус».

В настоящей работе проведено математическое моделирование влияния характеристик ПВМС типа «Титус» на результаты обработки изображений в когерентно-оптическом процессоре.

Блок-схема моделируемой оптической системы представлена на рис. 1. Исходное изображение в виде слайда, функция прозрачности которого изменяется по закону

$$f_0(x, y) = s_0(x, y) + \vartheta s_1(x, y), \quad (1)$$

где $f_0(x, y)$ — положительно определенная произвольная случайная функция; $s_{0,1}(x, y)$ — аддитивные составляющие фонового ($i=0$) и полезного ($i=1$) сигналов изображения; ϑ — индекс амплитудной модуляции полезного сигнала, помещается во входное окно проектора.

Далее изображение поступает на вход телевизионной камеры (КТП), в плоскости считывания которой изображение описывается выражением

$$\Phi_1(x, y) = I_0 f_1(x/k_1, y/k_1), \quad f_1(x, y) = 1(x, y/D) e(x, y) f_0(x, y), \quad (2)$$

где I_0 — амплитуда интенсивности света; $e(x, y)$ — нормированное распределение интенсивности в плоскости кадрового окна проектора (для идеальной системы $e(x, y)=1$); $1(x, y/D)$ — функция зрачка, равная единице для x и $y \in D$; k_1 — коэффициент увеличения масштаба. В предположении линейности передающего телевизионного тракта для выходного сигнала имеем

$$\Phi_2(x, y) = \hat{F}^{-1} \left\{ \mathcal{F}_2 \left(\frac{k_1}{k_2} v_x, \frac{k_1}{k_2} v_y \right) \right\} = f_2 \left(\frac{k^2}{k_1} x, \frac{k_2}{k_1} y \right), \quad (3)$$

где

$$\mathcal{F}_2 = \mathcal{F}_1 \left(\frac{k_1}{k_2} v_x, \frac{k_1}{k_2} v_y \right) V(v_x, v_y), \quad \mathcal{F}_1 = \hat{F} \{ f_1(x, y) \},$$

\hat{F} — оператор Фурье-преобразования; $V(v_x, v_y)$ — спектральная характеристика телекамеры; k_2 — коэффициент уменьшения масштаба изображения объективом КТП.

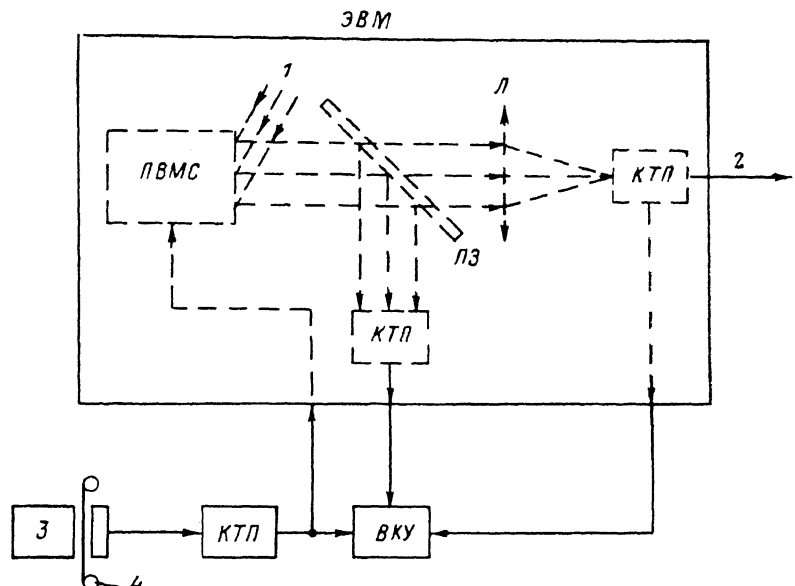


Рис. 1. Блок-схема моделируемой оптической системы.

1 — световой поток, 2 — признаки, 3 — проектор, 4 — выходное изображение.

Сигнал (3) поступает в ПВМС, где переносится на световую несущую. Нормированный выходной сигнал ПВМС в режиме амплитудной модуляции представляется в виде [4, 5]

$$\Phi_3(x, y) = \sin [v f_3(x/k, y/k)] e^{i\varphi(x, y)}, \quad (4)$$

где $v=U/U_{\lambda/2}$ — индекс фазовой модуляции, индуцированный в кристалле управляющим напряжением U ; $U_{\lambda/2}$ — полуволновое напряжение; $k=k_1 k_3 / k_2$; k_3 — коэффициент увеличения масштаба изображения при записи его на кристалл; $\varphi(x, y)$ — функция фазовой погрешности в оптическом канале ПВМС; f_3 — результат считывания функции поверхностного заряда f_2 с электрооптической мишени

$$f_3(x/k, y/k) = \hat{F}^{-1} \{ \mathcal{F}_3(k v_x, k v_y) \}, \quad \mathcal{F}_3 = \mathcal{F}_2(k v_x, k v_y) P(v_x, v_y; \alpha q), \quad (5)$$

где $P=W(\nu, q) T(\nu, \alpha)$ — передаточная функция ПВМС; $T=\text{th } \psi/\psi$ — спектральная характеристика мишени электрооптического кристалла; $\psi=2\pi a l_{\text{оф}} \nu$; $\nu=\sqrt{\nu_x^2 + \nu_y^2}$; l — толщина кристалла; l_0 — среднее значение толщины кристалла, характерное для известных [1-3] конструкций прибора; $l_{\text{оф}}=\alpha l_0$; $\alpha=\sqrt{\epsilon_{\perp} \epsilon_{||}}$.

ε_1 и ε_2 — главные значения тензора диэлектрической проницаемости кристалла; $W = e^{-\pi q^2(v/l_{\text{eff}})^2}$ — спектральная функция плотности тока электронного луча для нормального закона распределения; $q = a/l_{\text{eff}}$; a — диаметр электронного луча.

Относительное влияние переменных α и q на точность передачи спектра в ПВМС описывается соотношением

$$\gamma(v; \alpha, q) = \frac{1}{\pi} \frac{\partial \eta}{\partial \alpha} / \left| \frac{\partial \eta}{\partial q} \right| = 2\pi\alpha/qf(\psi), \quad f(\psi) = (1 - 2\psi/\sinh 2\psi)/\psi^2, \quad (6)$$

где $\eta = (\mathcal{F}_2 - \mathcal{F}_3)/\mathcal{F}_2 = 1 - P(v; \alpha, q)$; η — параметр, характеризующий погрешность выполнения Фурье-преобразования в системе с ПВМС. Из анализа соотношения (6) следует, что в указанном интервале значений α и q уровень фокусировки оказывает менее существенное влияние на точность передачи изображений, чем толщина кристалла ($\gamma > 1$). Очевидно, что для передачи изображений в спектральном диапазоне $v \leq \omega$ с погрешностью, не превышающей η_0 , требуется, чтобы $k \geq \omega/v_0$, где величина v_0 определяется в результате решения уравнения $\eta_0 = \eta(v_0; \alpha, q)$.

Для визуальной оценки качества считывания информации с ПВМС световой поток с помощью полуупрозрачного зеркала (ПЗ) подается на КТП (рис. 1). Выходной сигнал на экране ВКУ при этом пропорционален квадрату модуля излучения

$$U_2(x, y) \sim |\Phi_3(x, y)|^2. \quad (7)$$

В практических случаях индекс модуляции $\vartheta \leq 1$, поэтому в (4) можно ограничиться членами первого порядка малости по ϑ , положив

$$\sin(vf_3) \cong \sin(vs_0^3) + \vartheta v \cos(vs_0^3)s_1^{(3)}, \quad (8)$$

где $s_{0,1}^{(3)} = \hat{F}^{-1}\{S_{0,1}VP\}$ — функции фонового и полезного сигналов, $S_{0,1} = \hat{F}\{s_{0,1}(x, y)\}$. Согласно (4) и (8), сигнал на выходе модулятора представляется суммой двух составляющих, первая из которых обусловлена фоновой компонентой, а вторая является результатом мультиплексного взаимодействия фонового и полезного сигналов. Пространственный спектр, формируемый с помощью линзы (L), равен

$$\mathcal{F}(v_x, v_y) = \hat{F}\{\Phi_3(x, y)\} = \mathcal{F}_0(v_x, v_y) + \vartheta v \mathcal{F}_{\text{in}}(v_x, v_y), \quad (9)$$

где \mathcal{F}_0 — спектр нулевого порядка, равный функции свертки Фурье-спектра S_{n_0} фонового сигнала ПВМС со спектром ψ , обусловленным фазовой погрешностью

$$S_{n_0}(kv_x, kv_y) = \hat{F}\{\sin[vs_0^{(3)}(x/k, y/k)]\}, \quad \psi(v_x, v_y) = \hat{F}\{e^{i\varphi(x, y)}\}, \quad (10)$$

\mathcal{F}_{in} — информативная спектральная составляющая, определяемая функцией свертки Фурье-спектра $S_1^{(3)} = S_1VP$ полезного сигнала с функцией

$$C_n(kv_x, kv_y) = \hat{F}\{\cos[vs_0^{(3)}(x/k, y/k)]e^{i\varphi(x, y)}\}. \quad (11)$$

Для идеальных проектора и ПВМС ($e(x, y) = 1$, $\varphi(x, y) \rightarrow 0$), действующего в линейном режиме ($v \leq 1$), нулевой и информативный спектры соответственно пропорциональны спектрам фонового и полезного сигналов исходного изображения

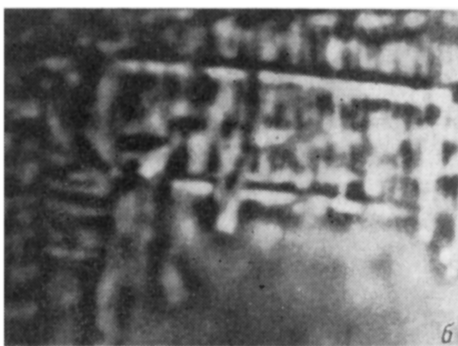
$$\tilde{S}_{0,1}^{(3)}(v_x, v_y) \sim H\left(\frac{k_3}{k_2}v_x, \frac{k_3}{k_2}v_y\right)[S_{0,1}(kv_x, kv_y)V(kv_x, kv_y)P(v_x, v_y; \alpha, q)], \quad (12)$$

где H — спектральная функция входного зрачка.

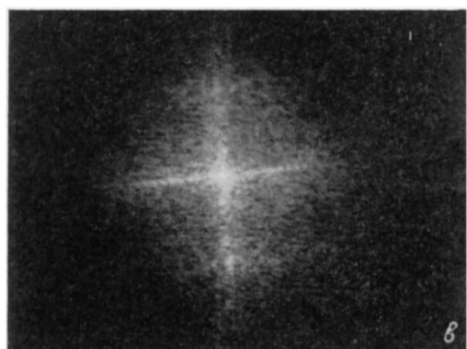
Фоновый сигнал по отношению к полезному обычно является существенно узкополосным, и для расширения эффективного динамического диапазона тракта регистрации пространственного спектра в КОП производится режекция



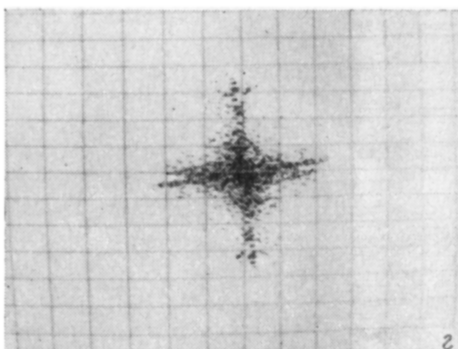
а



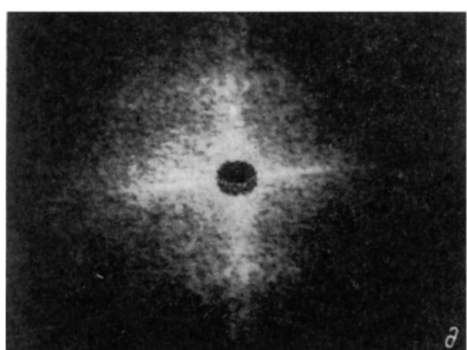
б



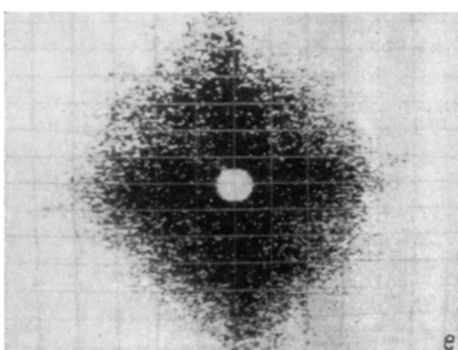
в



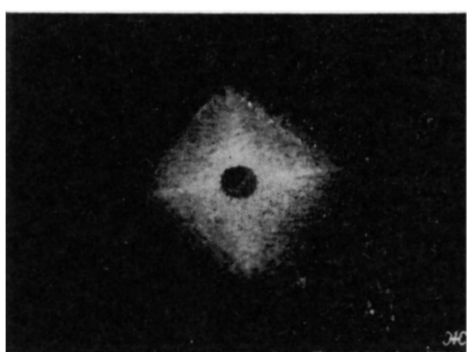
г



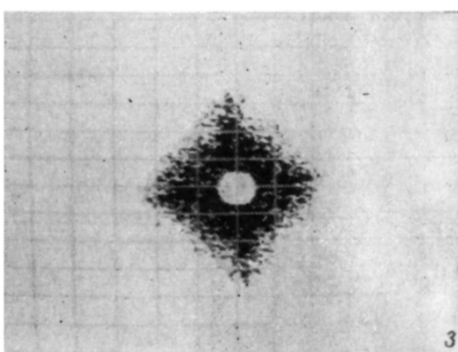
д



ж



з



с

Рис. 2. Фотографии с ВКУ исходного изображения (*а*), изображения после наложения на него спектр передаточной характеристики ПВМС (*б*), логарифма квадрата модуля спектра исходного изображения (*в*), логарифма квадрата модуля спектра с режекцией (*д*), с режекцией после «наложения» спектральной функции ПВМС (*ж*) и сечений этих спектров по уровню $\tau=40$ ед. логарифмического масштаба (*с*), (*с*), (*з*).

нулевого порядка спектра. В этом случае выходной сигнал системы описывается следующим соотношением:

$$U_0(v_x, v_y) \sim [1 - 1(v_x, v_y/\rho)](|\mathcal{F}_0|^2 + 2\delta v \operatorname{Re}\{\mathcal{F}_0^*\mathcal{F}_y\} + \delta^2 v^2 |\mathcal{F}_y|^2), \quad (13)$$

где ρ — диаметр режекториющего фильтра.

Изложенный выше принцип действия КОП на основе ПВМС моделировался на ЭВМ. Функциональная схема установки, использованная при моделировании

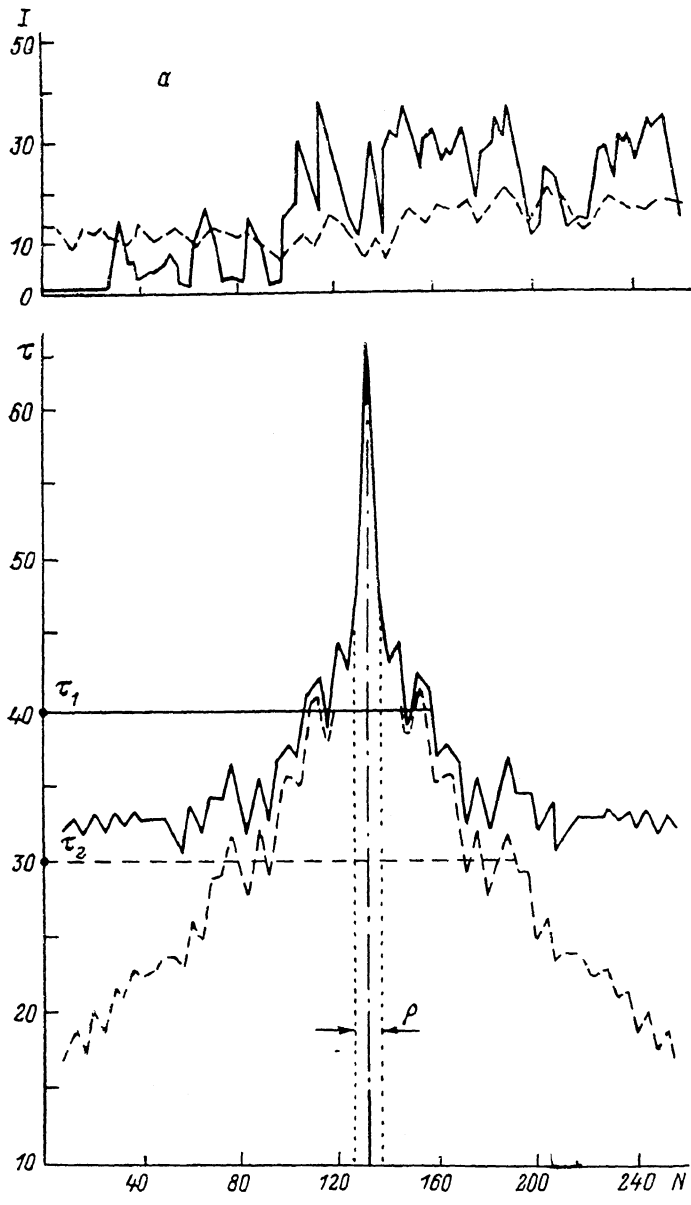


Рис. 3.

ни, состоит из блоков (рис. 1, сплошные линии). Изображение проецировалось в заданном масштабе на входное окно КТП, выходной сигнал которой подвергался аналого-цифровому преобразованию (разложение на 256×256 элементов, количество уровней квантования каждого элемента 64). В результате функция, описывающая изображение (3), представляется в виде

$$\Phi_2(x, y) = \sum_{n=0}^{N-1} \Delta x \Delta y f_2(n \Delta x, m \Delta y) \delta(x - \Delta x n) \delta(y - \Delta y m),$$

где $\Delta x = A (N-1)$, $\Delta y = B (N-1)$, $A \times B$ — апертура экрана видеокона телекамеры, N — число точек дискретизации.

Замена непрерывной функции дискретной последовательностью производится без потери информации при условии $k_2/k_1 \geq \omega \Delta x$, где Δx — интервал дискретизации, ω — полоса частот сигнала. Полученная числовая последовательность поступает в архив, создаваемый на магнитном носителе ЭВМ. На пространственный спектр, получаемый в ЭВМ в результате быстрого Фурье-преобразования исходного изображения, накладывалась передаточная функция ПВМС и осуществлялась режекция нулевого порядка спектра. После цифро-аналогового преобразования информация воспроизводилась на экране ВКУ.

На рис. 2, *a*—*з* приведены фотографии исходного изображения, квадрат модуля его пространственного спектра (в логарифмическом масштабе), сечения спектра без режекции и с режекцией нулевого порядка, а также аналогичные фотографии, получаемые в результате воздействия на спектр исходного изобра-

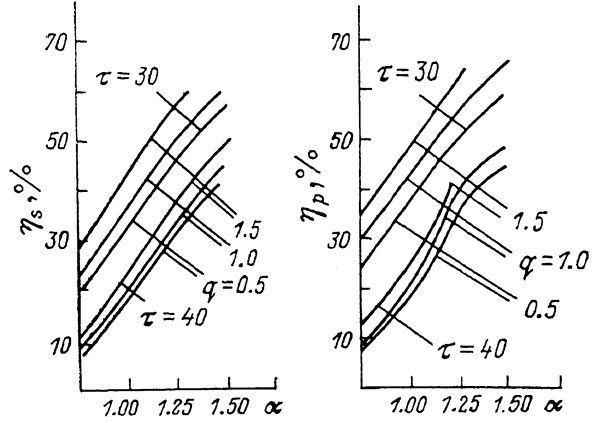


Рис. 4. Функции погрешностей информационных признаков для двух фиксированных уровней сечений спектров $\tau=30, 40$ ед. логарифмического масштаба.

жения передаточной функции ПВМС. Фотографии получены для следующих параметров ПВМС: толщина кристалла $l=250$ мкм, диаметр электронного луча $a=90$ мкм.

Размытие границ контуров и потеря мелкоструктурных фрагментов изображения (рис. 2, *б*), восстановленного в результате обратного Фурье-преобразования, обусловлены подавлением высокочастотных составляющих пространственного спектра из-за воздействия передаточной характеристики ПВМС. Увеличение эффективности площади спектральных картин (рис. 2, *д*—*з*) после режекции нулевого порядка спектра вызвано ограниченностью динамического диапазона канала визуализации. Для иллюстрации количественных характеристик исходного и искаженного изображений на рис. 3, *а* представлены кривые значений функций по горизонтальной оси для центральной строки исходного изображения (сплошная линия) и изображения, восстановленного после наложения на спектр характеристики ПВМС (штриховая линия), а на рис. 3, *б* — одномерные сечения спектральных картин изображений для центральной строки, где сплошной линией обозначено сечение после Фурье-преобразования, а штриховой — то же сечение после наложения на него функции ПВМС.

В ЭВМ производится расчет информативных признаков, в качестве которых использовались значения площади и периметра сечений пространственных спектров по определенным уровням. Погрешность измерения информативных признаков описывается соотношением

$$\eta_{s,p}(\alpha, q; \tau) = (\mu_{s,p}^{(0)}(\tau) - \mu_{s,p}^{(0)}(\alpha, q; \tau)) / \mu_{s,p}^{(0)}(\tau),$$

где $\mu_{s,p}$, $\mu_{s,p}^{(0)}$ — значения информативных признаков пространственных спектров соответственно с учетом и без учета переходной характеристики ПВМС, $\tau=64+2\ln(|\mathcal{F}|/\mathcal{F}_0|)$ — уровень сечения спектра, $|\mathcal{F}_0|=\max\{|\mathcal{F}(\nu_x, \nu_y)|\}$.

На рис. 4, а, б представлены зависимости погрешностей измерения периметра и площади сечений пространственных спектров от уровня фокусировки электронного луча и толщины кристалла для сечений по различным уровням. При характерных значениях толщины мишени (175 мкм, $\alpha=1$) и диаметра электронного луча (60 мкм, $q=1$) погрешности измерений площади и периметра составляют соответственно 35 и 43 % для сечения по уровню $\tau=30$ и уменьшаются до 20 % для сечения по уровню $\tau=40$. С увеличением толщины мишени α от 1 до 1.5 (175—262.5 мкм) значения площади и периметра сечения пространственного спектра уменьшаются более чем на 20 %, а изменение в том же интервале q при $\alpha=1$ приводит к уменьшению значений информативных признаков лишь на 5 %.

Изложенная методика моделирования, реализованная на мини-ЭВМ «СМ-4», позволяет по известным конструктивным параметрам ПВМС определять метрологические характеристики когерентно-оптических процессоров и, наоборот, по заданным метрологическим характеристикам рассчитывать требуемые параметры ПВМС.

Литература

- [1] Дун А. З., Криворученко А. И., Щербаков Г. П. и др. Техника кино и телевидения, 1979, № 7, с. 37—41.
- [2] Дун А. З., Криворученко А. И., Щербаков Г. П. и др. Тез. докл. III Всес. конф. по голографии. Л., 1978, с. 207—208.
- [3] Акимов Ю. А., Нагаев А. И., Пикалов В. П., Фрунзе А. В. Тез. докл. II Всес. конф. «Формирование оптического изображения и методы его обработки». Кишинев, 1985, т. 2, с. 10—11.
- [4] Мустель Е. Р., Парыгин В. Н. Методы модуляции и сканирования света. М.: Наука, 1970.
- [5] Мальшаков В. Г., Манкевич С. К., Нагаев А. И. и др. Квант. электр., 1979, т. 6, № 11, с. 2393.

Всесоюзный научно-исследовательский
институт оптико-физических измерений
Москва

Поступило в Редакцию
26 мая 1986 г.
В окончательной редакции
24 марта 1987 г.